# 4 電離圏・熱圏

# 4 Ionosphere and Thermosphere

## GEONET データによる TEC 導出と衛星及 4-1 び受信機のバイアス決定

## 4-1 Derivation of TEC and Estimation of Instrumental Biases from GEONET in Japan

馬冠一 丸山 隆 MA Guanyi and MARUYAMA Takashi

#### 要旨

電離圏の全電子数(TEC)の導出及びGPS衛星と2周波受信機のバイアス決定を、GPS地球観測網 (GEONET: GPS earth observation network)を用いて行う方法について述べる。TECは小領域において 一様であることから、日本上空の電離圏を32の区画に分割する。1区画の大きさは、東西2°×南北2°で ある。TECが各区画内において一様であり、かつバイアスが1日に変化しないと仮定することにより、未 知の TECとバイアスは、1 日ごとの 209 台の受信機の観測データとともに、一連の連立方程式を形成する。 そして TECと衛星及び受信機のバイアスが最小2乗法によって決定される。この方法がどの程度有効で あるかは、この方法を異なる季節の地磁気静穏な期間に応用し、GPS から得られた TEC と電離圏の臨界 周波数(foFa)とを比較することによって検証する。GPS衛星及びほとんどの受信機のバイアスは極めて 安定的であることが分かった。また、TECと foF2の日変化及び季節変化は、非常によく一致する。他方、 GEONETのような高密度の受信機網の観測を用いる方法は、他のどの領域においても利用できるとは限 らない。そのため本稿では、GEONETによって決定された衛星バイアスを使って単独の受信機のバイア スを推定する、より簡易でより高速な方法についても提案する。この簡易版の方法の精度は、GEONET によって決定された受信機バイアスと比較することによって評価する。単独受信機によるバイアスは、 GEONETによるバイアスからのずれは、傾向的に低緯度地域(<30°N)の受信機のほうが大きい。これは 赤道異常の影響によると考えられる。

This paper presents a method to derive the ionospheric total electron content (TEC) and to estimate the biases of GPS satellites and dual frequency receivers using the GPS earth observation network (GEONET) in Japan. Based on the consideration that the TEC is uniform in a small area, the method divides the ionosphere over Japan into 32 meshes. The size of each mesh is 2° by 2° in latitude and longitude, respectively. By assuming that the TEC is identical at any point within a given mesh and the biases do not vary within a day, the method arranges unknown TECs and biases with dual GPS data from about 209 receivers in a day unit into a set of equations. Then the TECs and the biases of satellites and receivers were determined by using the least squares fitting technique. The performance of the method is examined by applying it to geomagnetically quiet days in various seasons, and then comparing the GPS-derived *TEC* with ionospheric critical frequencies ( $foF_2$ ). It is found that the biases of GPS satellites and most receivers are very stable. The diurnal and seasonal variation in TEC and foF2 shows a high degree of conformity. The method using highly dense receiver network like GEONET is not always applicable in other areas. Thus the paper also proposes a simpler and faster method to estimate a single receiver's bias by using the

satellite biases determined from GEONET. The accuracy of the simple method is examined by comparing the receiver biases determined by the two methods. Larger deviation from GEONET derived bias tends to be found in the receivers at lower (<30°N) latitudes due to the effects of equatorial anomaly.

#### 「キーワード」

中緯度電離圏、計器と技術、電波伝播

Mid-latitude ionosphere, Instruments and techniques, Radio wave propagation

## まえがき

全電子数 (TEC) は、電離圏の特性研究に使用 されるパラメータのなかでも特に重要なもので ある。電離圏は、全地球測位システム (GPS) 衛 星の信号に対して分散媒として作用するため、 GPS衛星から地上受信機への電波伝播に群遅延 と進相をもたらす。TECの値は、2周波GPS観 測値の群遅延の差から算出される。ところが、 二つのGPS周波数の各信号には計器遅延バイア スが存在する。両者の差(計器バイアス:instrumental bias、又は差分計器バイアス:differential instrumental biasという)は、TECの計算の精度 に大きく影響する。衛星バイアスと受信機バイ アスの両方の作用によって TECの値が負になる 場合さえある。

GPS衛星と受信機のバイアスを決めるのは、 仮定条件に左右される部分が大きく、また多大 な時間を要する。前提条件として、(1)電子分布 は、地上から決まった高度にある薄い球殻内に ある、(2) TECは、太陽と地球を結ぶ線によって 固定された基準座標系において時間依存的であ る、(3) 衛星バイアスと受信機バイアスは数時間 にわたって一定である、の三つの条件を仮定し、 何人かの研究者 (Lanyi と Roth 1988 及び Coco ら 1991)は、現地時間の夜に当たる一つの観測点か ら得たデータを分析し、緯度及び経度の2次関数 によって鉛直方向に換算した全電子数 (TEC)の モデルを作成した。Wilsonら(1992、1995)は GPS網から得た1日又は12時間ごとのデータセ ットに薄い球殻の手法を適用し、垂直 TECを緯 度と経度の球面調和関数として表した。Sardón ら(1994)は、垂直 TECを地心基準系の2次多項 式としてモデル化した。そのなかで、多項式の 係数はランダムウォークの確率過程によって擬 似される。その後、係数 (したがって TEC) と計 器バイアスがカルマンフィルターを用いて決定 される。以上の研究に共通する特徴は、電離圏 の振る舞いがそれなりに平準であるとの前提を 必要とする点である。最近、Otsukaら (2002) は、 1000台を超えるGEONETの受信機から収集した データを使い、緯度0.15°×経度0.15°という高い 空間分解能をも持つ TECの2次元マップを作成 した。その際、絶対的な垂直 TECを得るために 計器バイアスが除去されたが、衛星バイアスと 受信機バイアスの区別はなされなかった。

本稿では、日本上空の TECを導出するととも に、GPS衛星及びGEONETを構成する2周波P コード受信機のバイアスを決定する方法につい て述べる。我々の方法がOtsukaら(2002)の方法 と異なる点は、TECの導出に加え、衛星バイア スと受信機バイアスの両方が得られることであ る。そのアルゴリズムについては2で詳説する。 **3**では、その方法を2001年の夏、秋及び冬の、 地磁気が静かな各3日間に適用した結果について 述べる。衛星バイアスの安定性について示した あと、計器バイアスの日々変動について論じる。 GPSデータから導出した TEC に関する評価は、 イオノゾンデの電離圏臨界周波数 (foF<sub>2</sub>) の観測値 と比較することによって行う。GEONETを利用 する今回の方法の精度を、データとの一致する 度合いによって提示する。4では、GPSの観測値 と既知の衛星バイアスを用いて単独の受信機の バイアスを決定するためのより簡易かつ高速な 方法を提案する。この方法の精度を明らかにす るため、これを先の9日間に適用し、その結果を 3の場合と比較する。得られた主な結果は5にま とめた。最後に、全体の結論を6に記した。

## 2 アルゴリズム

#### 2.1 GPSの観測をもとにした TECの算出

GPS衛星は現在28個あり、高度20,200 km、傾斜角55°の軌道を回っている。これらのGPS衛星は、1.57542 GHz ( $f_i$ という)及び1.2276 GHz ( $f_z$ という)の二つの周波数の搬送波信号を使用する。GPSの観測からは、この2信号に対応して測定される二つの距離(擬似距離: pseudorange)及び二つの位相が得られる。異なる周波数の電波信号は、電離圏の分散性により、衛星から地上受信機までの伝播時間が異なる(これを群遅延という)上、伝播に際して位相が進む。衛星から受信機までの伝搬路に沿った全電子数 ( $TEC_{sl}$ )は、2信号の擬似距離 ( $P_i$ と  $P_z$ )の差及び位相 ( $L_i$ と  $L_z$ )の差から計算できる [Blewitt、1990]。

$$TEC_{slp} = \frac{2(f_1 f_2)^2}{k(f_1^2 - f_2^2)} (P_2 - P_1) \tag{1}$$

$$TEC_{sll} = \frac{2(f_1 f_2)^2}{k(f_1^2 - f_2^2)} (L_1 \lambda_1 - L_2 \lambda_2)$$
 (2)

ここに、kは電離圏の屈折に関係する値であり、 $80.62 [m^3/s^2]$ である。また、 $\lambda_1 と \lambda_2$ はそれぞれ  $f_1 と f_2$ に対応する波長である。位相の測定には  $2\pi$  不確定があるため、位相差から計算した  $TEC_{sll}$ は相対値であるものの、 $TEC_{slp}$ よりも精度 が高い。 $TEC_{sl}$ について位相経路の正確さを確保 するため、位相差から求めた  $TEC_{sll}$ につき、 $TEC_{sll}$ を  $TEC_{slp}$ にフィッティングして  $B_{rs}$  基線を 導入する [Mannucci ら 1998 及び Horvath と Essex 2000]。

$$TEC_{sl} = TEC_{sll} + B_{rs} \tag{3}$$

N個の測定値がある場合、本稿の基線  $B_{rs}$  は、 擬似距離から求めた i番目の  $TEC_{slpi}$  と位相から求 めた i番目の  $TEC_{slli}$  との差を i=1 から i=Nにつ いて平均した値である。

$$B_{rs} = \frac{\sum_{i=1}^{N} (TEC_{slp_i} - TEC_{sll_i}) \sin^2 \alpha_i}{\sum_{i=1}^{N} \sin^2 \alpha_i}$$
(4)

ここに、衛星の仰角αの正弦の2乗を重みづけ 係数に使用した。仰角が小さいときの擬似距離 は、一般にマルチパスの影響を受け、信頼度が 下がるためである。そのため、仰角の小さい斜 め伝搬路(slant path)は、基線の決定に対する寄 与がかなり小さくなる。また、B<sub>c</sub>に関する上記 計算を行うに際しては、 $L_1$ 又 $L_2$ はの位相測定に おいて生じるサイクルスリップ (cycle slip)を検 出するためのデータ処理が行われる[Blewitt 1990]。このように、今回の研究では、不確定部 分がなく、また擬似距離よりもノイズ及びマル チパス効果の少ない、擬似距離が平準化された 搬送波位相を使用している。衛星と受信機の各 ペアにつき、この部分のデータ処理を30秒間隔 の2周波GPSデータを用いて独立に行う。得ら れた伝搬路 TEC』は、位相及び擬似距離に影響を 与える要因のうち、両周波数に共通するもの(受 信機と衛星間の距離、クロックのオフセット、 対流圏遅延など)がすべて取り除かれている。し かし、マルチパス効果や衛星及び受信機の差分 計器バイアスなど、周波数に依存する影響が残 存する。

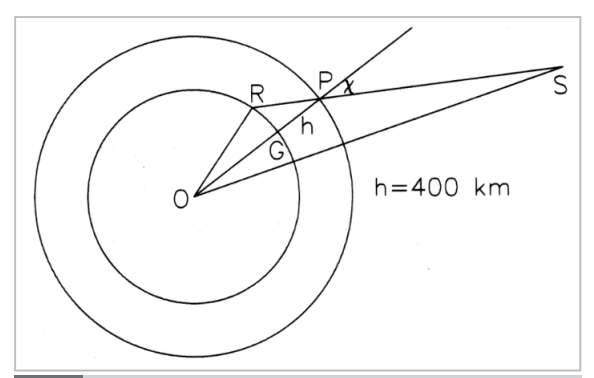
伝搬路 TEC<sub>st</sub>から垂直 TECを導くため、電離 圏を地球を取り巻く薄い球殻と見なし、その中心は地球の中心に一致すると仮定する。GPS 衛星、受信機及び電離圏の位置関係は図1のようになる。衛星(S)から電離圏を抜けて受信機(R)に至る斜め伝搬路と電離圏との交点を、貫通点(P)と呼ぶことにする。このとき天頂角χは次式で表される。

$$\chi = \arcsin(\frac{R_e \cos \alpha}{R_e + h}) \tag{5}$$

ここに、 $\alpha$  は衛星の仰角、R。は地球の平均半径、h は電離層の高さである。なお、本稿ではh を  $400 \, \mathrm{km}$  とする。さらに、衛星と受信機のバイアスをそれぞれ b。及び b、とすると、垂直 TEC は次式のようになる。

$$TEC = (TEC_{sl} - b_s - b_r)\cos\chi \tag{6}$$

TEC及び計器バイアスの算出については、高 密度 GPS 受信機網 GEONET の説明のあとで触れ たい。



#### 図 1 GPS衛星(S)、電離圏及び受信機(R) の位置関係

全電子数は一定であり、電離圏は地上 400kmの高度にある薄い球殻と仮定す る。図中、Pは視線と電離圏の交点を表し、  $\chi$ は天頂角である。

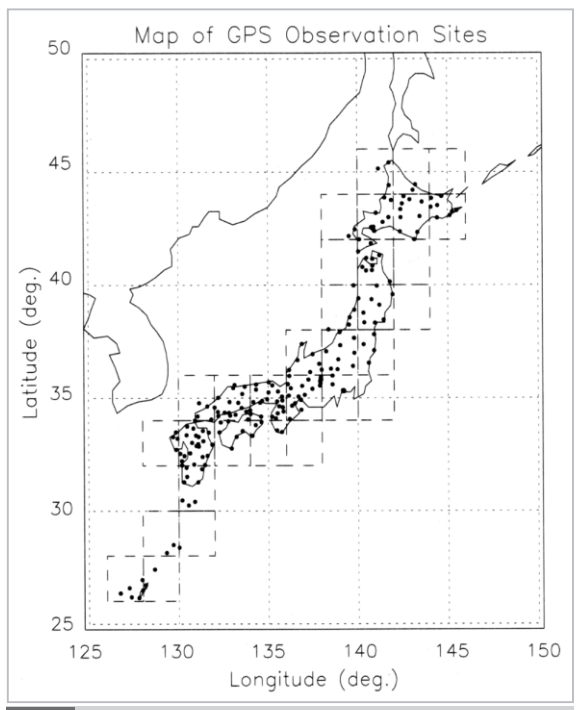
#### 2.2 日本のGEONETとメッシュ分割

GEONET は国土地理院 (GSI) が運営する GPS 地球観測網である。日本全土に1000台を超える GPS 受信機が設置され [Miyazaki ら、1997]、そ のうち209台が両周波数による精密コード疑似距 離を提供している。図2に示すように、これらの 受信機が全国に十分に密なネットワークを形成 している。受信機網がカバーする範囲は、南北 に27°N~45°N、東西に127°E~145°Eに及 50

図2には32の区画が波線で描かれており、そ れぞれの区画において TECが独立して求められ る。一区画の大きさは、東西2°×南北2°である。 一つの区画に受信機が20台備わる場合がある一 方、受信機が一台もない区画も幾つかある。こ うした区画でも TECを得ることが可能である。 なぜなら隣接区画に受信機が存在する上、衛星 の位置や数に応じて貫通点が広範囲に広がって いるからである。

#### 2.3 TECと計器バイアスの算出

今回の研究では、複雑な数学モデルを使用せ ず、垂直 TECは同一区画内の全点において等し いが、異なる区画では違ってよいとの仮定を用 いる。つまり、TECは8分以内であれば一定で あると考える。8分というのは、区画の東西方向 の幅である2°を時間に換算した値である。した がって、同じ区画内に収束する伝搬路について、 その伝搬路 TEC。の鉛直成分はすべて同じと考え ることができる。これに加え、衛星と受信機の



本稿で利用する GEONET の 209 台の :周波受信機の分布図

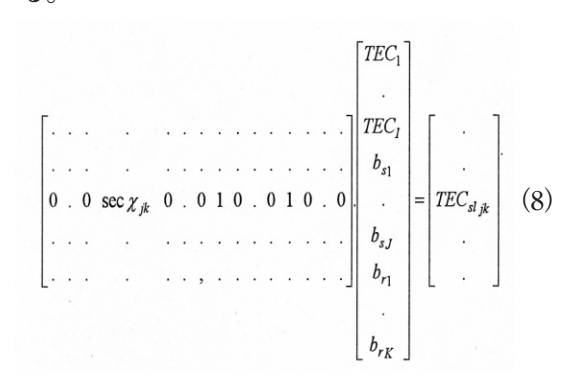
32の区画が波線によって示されている。1 区画の大きさは、東西2°×南北2°である。

バイアスは日内変化がないと仮定する。

時刻tにおいて衛星iから電離圏を抜けて受信 機 k に至る区画 m の伝搬路を考えた場合、式(6) を参照して以下の式を得る。

$$\sec \chi_{jk} TEC_i + b_{sj} + b_{rk} = TEC_{sljk}$$
 (7)

ここに、iは時刻tにおける測定の順序を表す。 式 (7) の未知数は、 $TEC_i$ 、 $b_{si}$ 及び $b_{rk}$ である。28 個の衛星及び209台の受信機の観測データの15 分時系列を用いれば、32区画におけるある1日の TECと計算バイアスは、次に示す行列形式の連 立方程式を解くことによって求めることができ る。



ここに、右辺のベクトルの要素は伝搬路 TEC。で ある。このベクトル内に  $TEC_{sl}$ は L個とする。左 辺のベクトルは、TEC、衛星バイアス b。及び受 信機バイアス b<sub>t</sub>の未知数で構成される。未知数 の個数はそれぞれI、J、Kとする。式(8)の左辺 の行列を構成するのは係数であり、具体的には TECに対する  $sec_X$ 、 $b_s$ に対する 1及び  $b_r$ に対す る1、そして0である。その要素数は(I + I + $K) \times L$ 個である。1日の時間枠を考えたとき、各 区画には96個の TEC値があるため、32区画全体 における未知の TECの個数は96×32、すなわち I = 3072となる。また I = 28 (衛星数)、K = 209(受信機数)である。衛星と受信機のそれぞれの バイアスに分けて決定することは不可能である ため、いずれかのバイアス(通常は一つの受信機) を基準にとって0とする。そして最小2乗法によ り、上記連立方程式の解は特異値分解(SVD) に よって得ることができる。SVDを使用すれば、 非現実解が避けられる[Press ら、1992]。 我々の 実用的計算では、方程式の数は約40.000になる。 GPSデータの読み取りから式(8)の計算までの全 処理をPentium4プロセッサーを搭載したパソコ ンで実施すると、2時間ほどを要する。

## 3 本方法の応用結果

有効性を示すに当たり、本方法を2001年夏至、 秋分、冬至付近の6月15~17日、9月20~22日 及び12月21~23日の9日間に応用した。これら の期間最中及びその前は地磁気的に静かである。 上記の手順に従い、1日ごとの計器バイアスと日 本上空のTECを得た。基準受信機には34.16°N、 135.22°Eに置かれたものを選択した。この受信 機の周囲には、同一区画内に10台以上の受信機 がある。

#### 3.1 計器バイアス

図3は、上記9日間について算出した衛星バイアスを、年間通算日の関数として6か月のタイムスパンで示したものである。縦の波線は日付の飛びを表している。図に示すバイアスは、平均値(グラフの下に記載)との差分である。具体的には、毎日すべての衛星についてバイアスの平均値を計算し、次に個々の衛星バイアスからそ

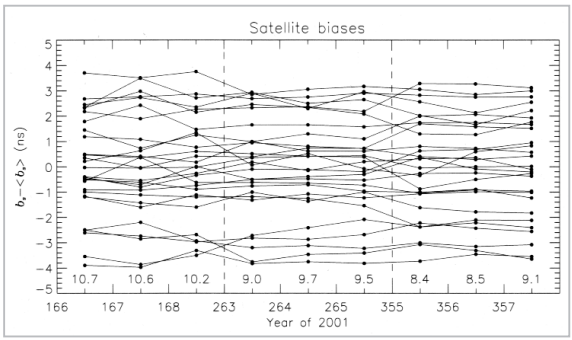


図3 9日間について GEONET から導出した 衛星バイアスを 6 か月のタイムスパン で示したもの

バイアス値から日平均を差し引いた相対バイアス値で示してある。図の一番下には衛星バイアスの平均が示されている。縦の波線は日付の飛びを表す。

の平均値を差し引いた [Coco ら、1991]。それによって、基準受信機のバイアス変化などの系統的な傾向が衛星データから除去される。衛星バイアスの平均は夏から冬にかけて数 ns (1ns = 2.853 TECU、1 TECU = 2.853 ×  $10^{16}$   $e/m^2$ ) 減少しているが、相対的なバイアスはかなり安定している。異なる季節間の衛星バイアスの差は最大でも 1 ns 程度である。上記 9 日間における衛星バイアスの標準偏差は 0.076 ns  $\sim 0.664$  ns であった。 28 個の衛星中 19 個においては 0.5 ns 未満である。したがって衛星バイアスの場合、日々変動は極めて小さかった。

算出した受信機バイアスの日々変動も、大半の受信機において小さかった。受信機バイアスの9日平均に対する標準偏差の分布を図4に示

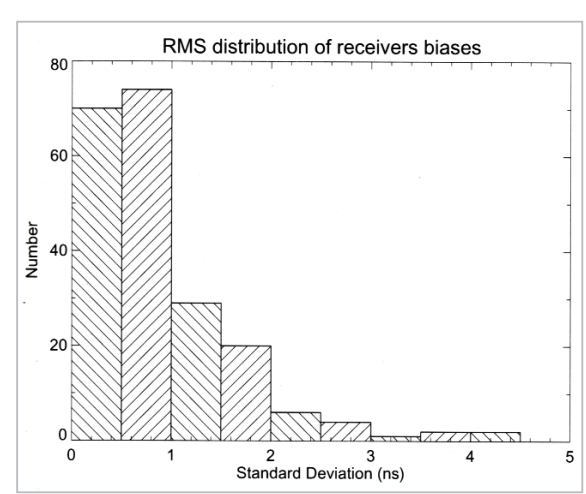


図4 GEONETから導出した受信機バイアス の9日平均からの標準偏差に関する分 布。93%が2ns以内である

す。最大値は約4nsであった。バイアスの標準偏 差が1ns未満だった受信機の割合は69%である。 2ns未満になると、その割合は93%に上る。図5 は、9日間の受信機バイアスの標準偏差と、受信 機の地理的位置の関係を示す散布図である。こ れを見ると、受信機バイアスの変動は緯度に依 存しないことが明らかである。このことから、 電離圏の局所特性は計器バイアスの計算にほと んど影響しないと考えられる。その一方で、バ イアスの日々変動が大きい受信機が(中緯度に) 幾つか存在する。その理由には、例えば次のよ うなものが考えられる。(1) 受信機回路そのもの に存在する不安定性、(2) 基準受信機のバイアス 変動、(3)マルチパス効果。このうち受信機の不 安定性が最も妥当な理由である。なぜなら、基 準受信機のバイアスが変動すれば他のすべての 受信機に影響が出るからである。また、マルチ パス効果が日によって大きく変動するとは考え にくい。

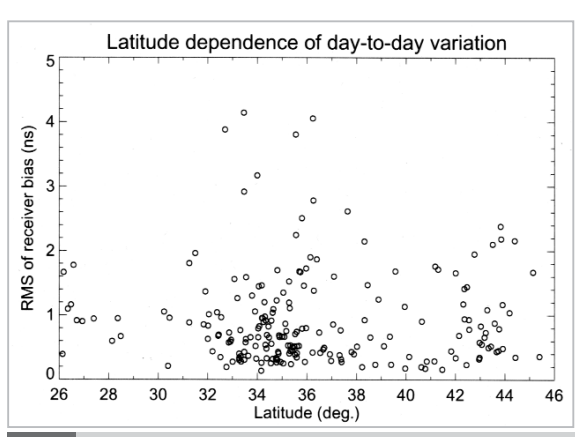


図5 GEONETから導出した受信機バイアス の9日平均からの標準偏差における緯 度変動。系統的な傾向はみられない

#### 3.2 GPS から導出した TEC

2で述べた方法を用いれば、計器バイアスと同時に日本上空の TECを計算することができる。2001年の夏から冬の9日間に得た35°N、139°E の区画における15分間隔の TECを、図6の上段に示す。縦の波線は日付の飛びを表している。日変化のほかに季節変化があることがよく分かる。GPSから得た TECの有効性検証に当たっては、他の観測技術を用いて収集したデータが役に立つ。イオノゾンデによる電離圏の定常観測を、国分寺(35.7°N、139.5°E)において15分ご

とに実施している。GPSから求めた TECの精度を調べるには、定常観測で得られた  $foF_2$ の値(図 $foF_2$ の中段)を用いる。いうまでもなく、 $foF_2$ の振る舞いは  $foF_2$ にかなりよく似ている。 $foF_2$ の変動は、大変よく一致する。この特徴は日中に現れる微細構造についても明らかである。こうした性質から、GPSから求めた  $foF_2$ の主として $foF_2$ の電子によるものであることが分かる。より詳しい比較として、 $foF_2$ の2乗で割った比を図 $foF_2$ の2乗で割った比を図 $foF_2$ のである。日中の比の値は夏と秋ではそれほど違わないが、冬には $foF_2$ のでいる。これは、プラズマ圏の電子数の寄与のほうが大きいことを示唆している。

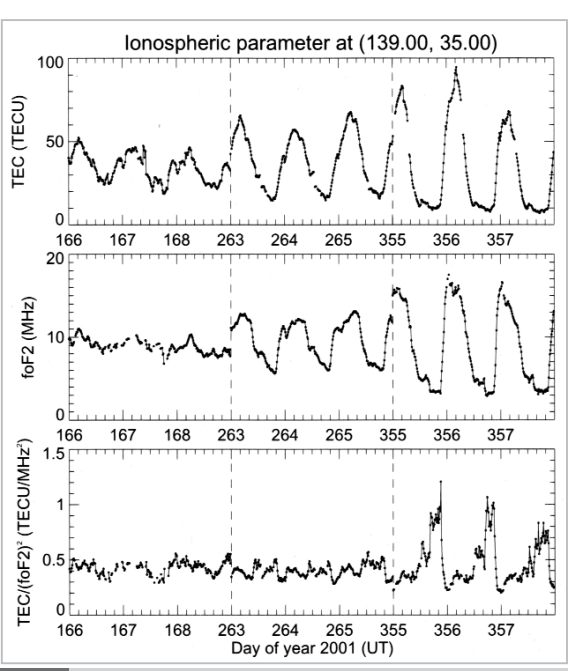


図6 9日間に得られた35°N、139°Eにお ける15分間隔のTECを6か月のタイ ムスパンで示したもの

縦の波線は日付の飛びを表す。このほか、 $foF_2$ の15分間隔データ及びTECを $foF_2$ の2乗で割った比についても表示した。

図7は、2001年の夏、秋、そして冬における日本上空のTECの等高線図である。夏のTEC分布は簡単なパターンを示す。秋の日中のTECは、夏に比べて値が大きい上、緯度の勾配も大きい。冬になるとそれが更に顕著になる。冬の夜間のTECは、他の季節の数値の半分ほどである。

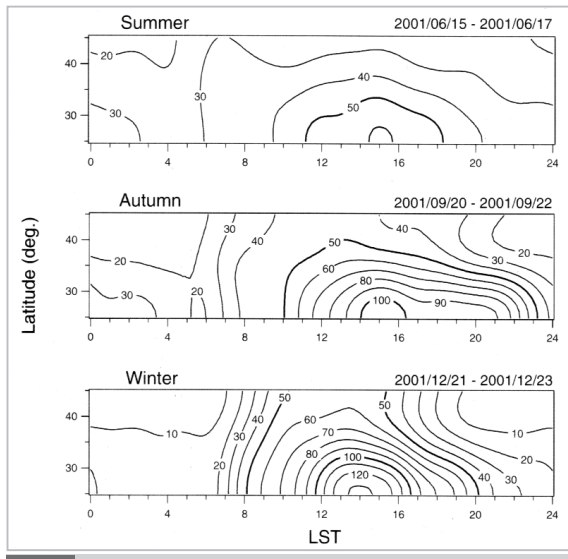


図7 2001年の夏、秋、冬における日本上 空の電離圏TECの分布

コンターの単位は TECU、間隔は 10 TECU。

#### 3.3 本方法の精度評価

算出したパラメーターが実際のデータとどの程度一致するかを知るには、データとフィッティング・パラメーターとの差(残差)に関する標準偏差を使用する[Bevington、1969]。

$$\chi_g = \sqrt{\sum_{i=1}^{L} (TEC_{sl\,jk} - \sec \chi_{jk} TEC_i - b_{s\,j} - b_{r\,k})^2 / (L - 4)} \quad (9)$$

ここに、Lは伝搬路  $TEC_s$ のデータ数 (2.3 を参照) である。9日間の $\chi_s$ の値の分析の結果は表1にまとめてある。 $\chi_s$ が5 TECU を下回った日数は7日ある。2001年6月16日 (第167日) は約8 TECU、同年9月22日 (第265日) は約51 TECU であった。 $\chi_s$ が極端に大きかった第265日につき、各データ点に対する個々の残差をチェックした。その日に使用した伝搬路  $TEC_s$ のデータ数は47,400件である。また、

#### 表 1 2001 年の9日間について GEONET を用いた 方法によって得られた残差の標準偏差 (x<sub>g</sub>)

| DOY      | 166  | 167  | 168  | 263  | 264  | 265   | 355  | 356  | 357  |
|----------|------|------|------|------|------|-------|------|------|------|
| $\chi_g$ | 3.99 | 7.94 | 4.24 | 3.59 | 2.81 | 51.43 | 3.05 | 2.76 | 2.57 |

上段の数字は2001年の年間通算日。 $X_{\rm g}$ の単位はTECU。

 $\left| TEC_{sljk} - \sec \chi_{jk} TEC_i - b_{sj} - b_{rk} \right| < 1$  を満たすデータは 12.991 件、

 $\left| TEC_{sljk} - \sec \chi_{jk} TEC_i - b_{sj} - b_{rk} \right| < 2$  を満たすデー

タは23,695件、

 $|TEC_{sljk} - \sec \chi_{jk} TEC_i - b_{sj} - b_{rk}| < 5$  を満たすデータは40,539件ある。つまり、フィッティングの結果は多くのデータについてよく一致している。また、大きな残差の大半は、 $35^{\circ}$ より低緯度の区画において生じていることが分かっている。

 $|TEC_{sl_{ik}} - \sec \chi_{ik} TEC_i - b_{s_i} - b_{r_k}| > 10$  を満たす1,233 件のデータのうち、950件は35°より低緯度の区 画のデータである。おそらく秋分点において赤 道異常が発達することで、低緯度電離圏に急な 緯度勾配が発生し、それが第265日にフィッティ ングに大きな標準偏差をもたらしたのだろう。 このように、大きな残差を主にもたらしている のは、低緯度区画における TEC 勾配である。し かし、χ。が大きいからといって、計器バイアス のフィッティングの精度が低いとは限らない。 図3を見れば分かるように、第265日について算 出された衛星バイアスは第264日と大きく変わら ない。両日の受信機バイアスを比較した散布図 を図8に示した。丸印が35°以下の緯度にある受 信機を示し、+印が35°より高い緯度の受信機を 示す。両日の受信機バイアスは、緯度に関係な く極めてよく一致している。ただし、中程度の

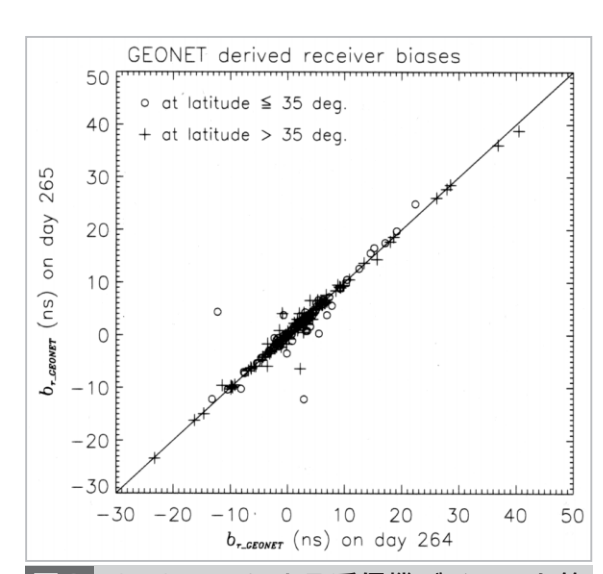


図8 GEONET による受信機バイアスを第 265日と第264日で比較したもの

図中、丸印が35°以下の緯度にある受信機を示し、+印が35°より高い緯度の受信機を示している。丸印と+印は受信機の設置場所に関係なく共に対角線上に載っており、両日の受信機バイアスはよく一致している。

偏差を示す受信機が若干存在する。このように、 残差が非常に大きな場合でさえ、本方法で求め た計器バイアスは高い精度を持っている。

## 単独受信機に対するバイアスの 算出

前節で述べた方法は、どのような状況にも適 用できるわけではない。この技術は、小さな領 域に高密度の受信機網を備えて初めて可能にな る。また、そのアルゴリズムは多少の計算時間 を必要とするため、電離圏をほぼリアルタイム でモニターする用途には向いていない。しかし、 GEONETを用いて衛星バイアスが計算されれば、 その値は地球上のあらゆる場所に共通的に使用 することができる。設置される受信機が1台であ っても構わない。本節では、GEONETを用いて 計算した衛星バイアスを使って単独受信機のバ イアスを算出する簡易かつ高速な方法について 述べ、更にその方法の精度について論じる。

#### 4.1 簡易な方法

1台のGPS受信機は常に、一般に五つ以上の GPS衛星から同時に信号を受信している。衛星 の仰角はかなりばらつくことがある。貫通点は 広く分散することになるが、その範囲は受信機 を中心におよそ経度で約23°、緯度で約32°に限 られる。仰角の異なる複数の衛星があるとき、 そこから受信機への視線は様々であり、観測中 の伝搬路 TEC。には常に空間的なばらつきが生じ る。ここで電離圏が水平方向に一様であり、か つ計器バイアスが正しく除去されると仮定する と、鉛直方向に換算した TEC はすべての衛星に 対して等しくなるはずである。しかし、実際に は電離圏に水平勾配と鉛直構造があり、垂直 TECのばらつきは計器バイアスが正しく除去さ れたときに最小になると考えられる。GEONET によって衛星バイアスが適切に計算され、しか もそれが安定であることが示されたので(3を参 照)、今度はそれを既知の値として使用し、また、 受信機に対して一連のバイアス候補値を吟味し て、TEC平均値からの偏差を最小とするものを 見つけることにより、受信機バイアスが算出さ れる。数学的な記述において、被測定受信機の

バイアス候補値b(i)に対し、TECの平均値から の標準偏差が各観測時刻について計算される。 そしてその値から全日にわたる標準偏差の和Σσε が求められる。 $\Sigma_{\sigma_i}$ が最小値 $\Sigma_{\sigma}$ を取るときのバ イアス値 b(i<sub>d</sub>)が、正しい受信機バイアスである と考えられる(以下「フィッティングによる受信 機バイアス」とする)。Pentium 4プロセッサー を搭載したパソコンの場合、フィッティングに よる受信機バイアスはわずか数分で計算できる。

異なったバイアス候補値に対する TECのばら つきの検証作業は実際の観測データを用いて行 う。比較の便宜上、GEONETから一台の受信機 (35.53°N、137.89°E)を選択する。2001年6月17 日に行った観測結果を図9に示す。波線は、衛星 からその受信機に至る経路の伝搬路 TEC。を示 す。実線は、衛星及び受信機のバイアスを除去 したあとに鉛直換算した TECを示す。三つの図

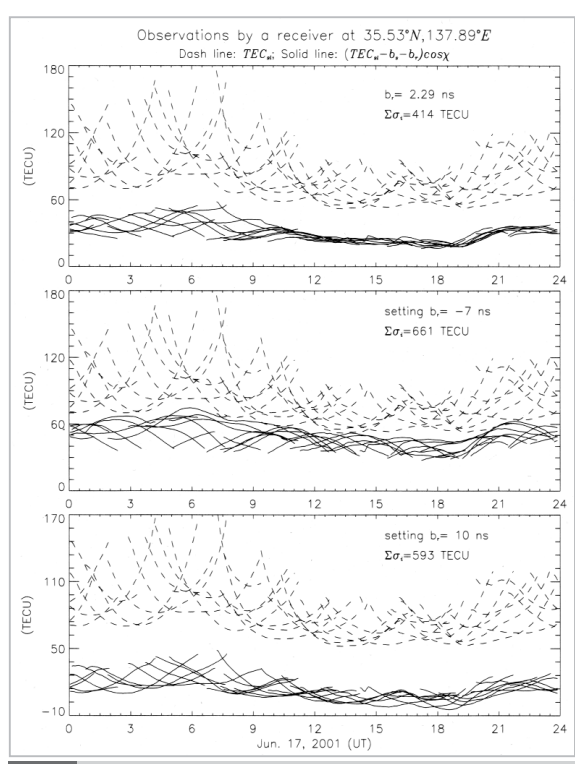


図9 GPS 衛星から一台の受信機(35.53°N、 137.89°E)に至る経路の伝搬路 *TEC。* (波線)

実線は、計器バイアスを除去したあとに TECsi鉛直換算した TECを示す。衛星バ イアスは GEONET から得た。上段では、 受信機バイアスとして GEONET から得た 値を用いた。下の2段では計算値を用いた。 各段には、平均値に対する TECの標準偏 差の一日の合計値Σσιを記載した。

において、衛星バイアスは同一で、3で示した方法によって算出した。一方、受信機バイアスには異なる値を使用した。上段では、受信機バイアスにGEONETからの値を用いた。下の2段は、中段についてはGEONETからの値よりかなり小さくなるよう、そして下段についてはGEONETからの値よりかなり大きくなるよう、受信機バイアスを恣意的に選択した。各段の右上には、対応する $\Sigma \sigma_i$ の値を示した。使用する受信機バイアスの値が不適当だと曲線が収束しないことが分かる。

図 10 は、同じデータセットについて $\Sigma \sigma_i$ の値の変動を b(i) の関数として表したものである。図から受信機バイアスが 2.78 ns と求められるが、これは GEONET から求められた 2.29 ns という値に近い。両方法の差はわずかに 0.49 ns である。

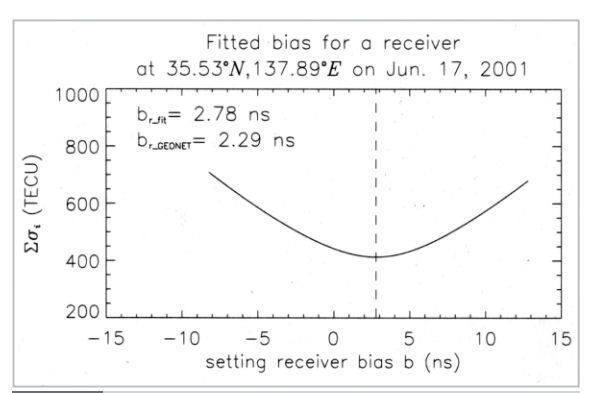


図 10 35.53°N、137.89°Eの受信機に対するフィッティングによるバイアス

GEONETから得たバイアス値2.29 ns も記載してある。

#### 4.2 簡易な方法の精度

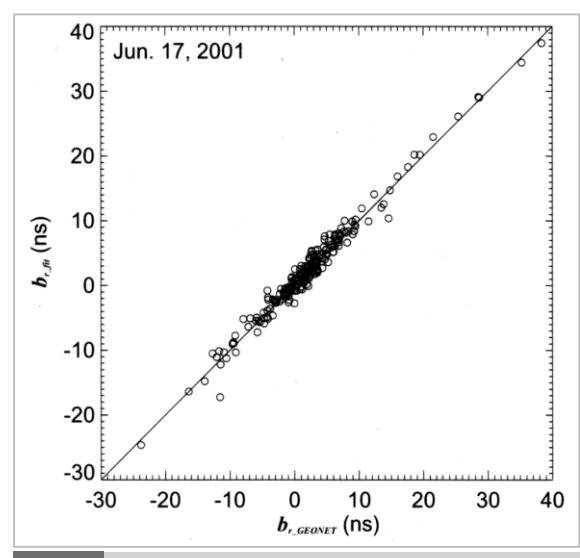


図 1 1 GEONET から得たバイアスとフィッティングによる 1 台の受信機のバイアスを、2001年6月17日のすべての受信機についてプロットしたもの

比較のため、 $b_{r,GEONET}=b_{r,fit}$ の直線を引いた。

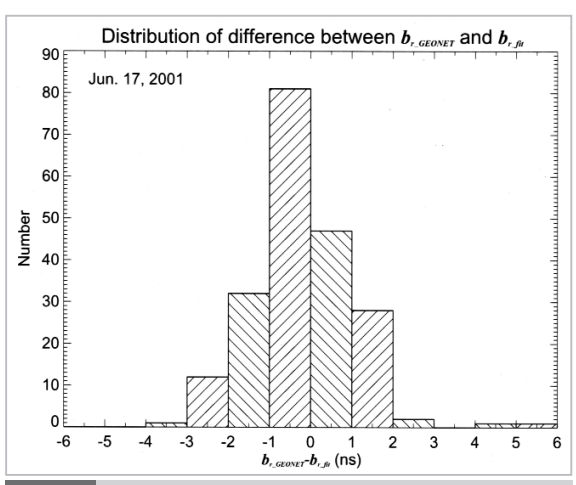


図 12 GEONETから得たバイアスとフィッティングによるバイアスの差を、2001年6月17日のすべての受信機について示した度数分布

#### 表2 GEONETから算出した受信機バイアスとフィッ ティングによる 1 台の受信機のバイアスとの差 が±2ns以内であったケースの割合

| DOY   | 166 | 167 | 168 | 263 | 264 | 265 | 355 | 356 | 357 |
|-------|-----|-----|-----|-----|-----|-----|-----|-----|-----|
| Perc. | 79% | 91% | 93% | 90% | 95% | 69% | 93% | 94% | 98% |

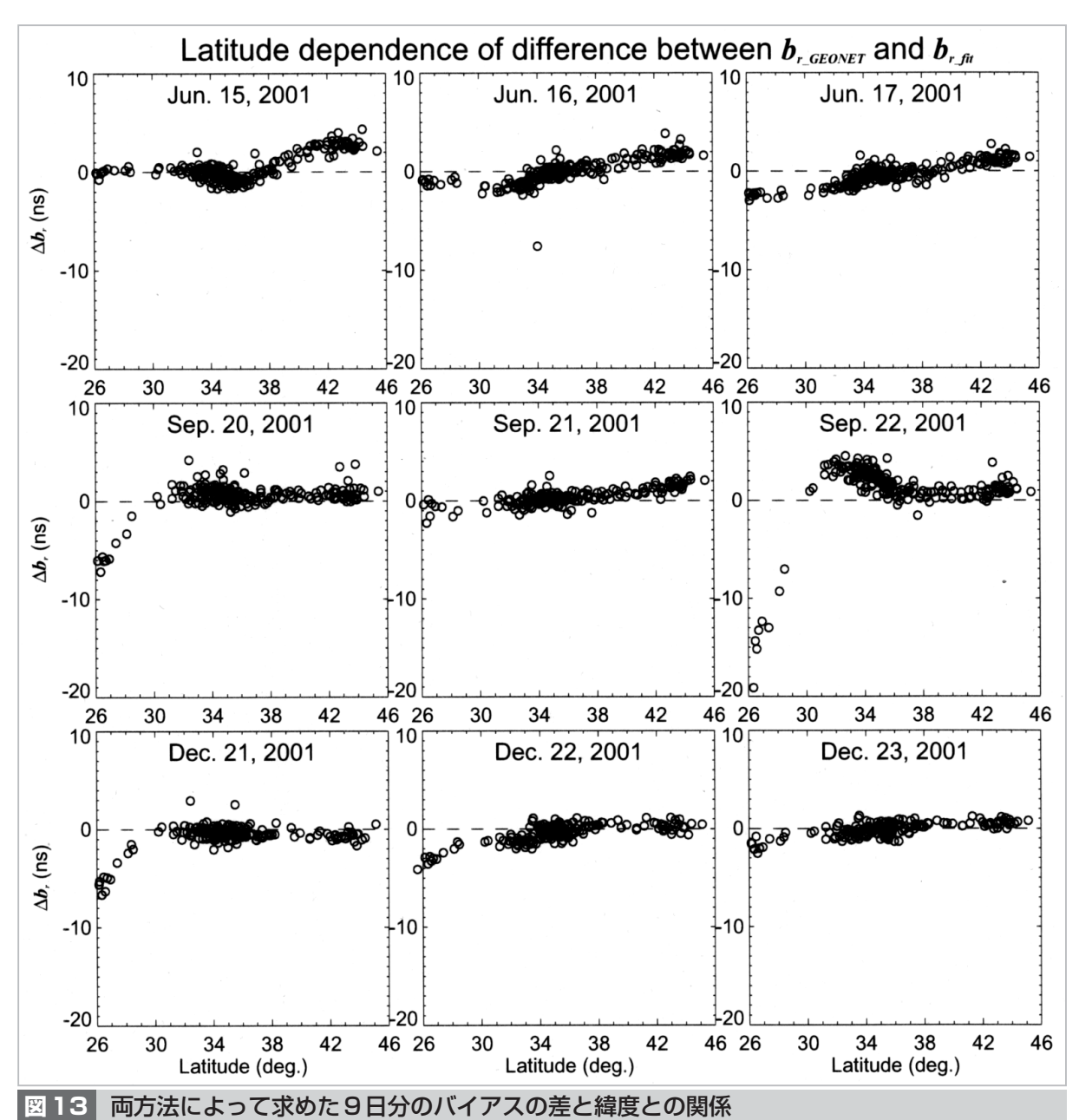
上段の数字は2001年の年間通算日。

#### とが分かる。

分析した9日間において誤差が±2ns以内であった受信機台数の割合を表2にまとめた。2001年9月22日(通算第265日)では、フィッティングに

よるバイアスが受信機の約1/3において大きな誤差を含んでいたことが分かる。これらの受信機は、図13に示すように、特に35° Nより低緯度に置かれていた。なお、図13では、誤差と緯度の関係を他の日についても示してある。これは、3.3で論じた、 $\chi_g$ が第265日において大きな値を示した点に一致する。低緯度(<30° N)の受信機において、 $b_{r.GEONET}$ よりも大きい傾向にあり、誤差は緯度が南になるにつれて大きくなる傾向にある。これは、1台の受信機に対して行われるフィッティングによるバイアス

算出が電離圏の条件の影響を受けることを示唆している。誤差源(したがってこの方法を適用する限界)について更に詳細に調査するため、各受信機の平均に対する TECの標準偏差和  $\Sigma \sigma \epsilon$ 、フィッティングによるバイアスを用いて計算した。  $\Sigma \sigma$ の緯度変化を図 14に示す。図 13 と図 14 を比較することにより、  $\Sigma \sigma$ の値が大きい(収束が悪い)ことが必ずしも大きな誤差を生まないことが分かる。 2001 年 9 月 22 日を例にとると、30° Nより低緯度では  $\Sigma \sigma$  が増加するにつれて誤差は逆に小さくなっている。



比較のため、差がゼロとなるところに波線を引いた。

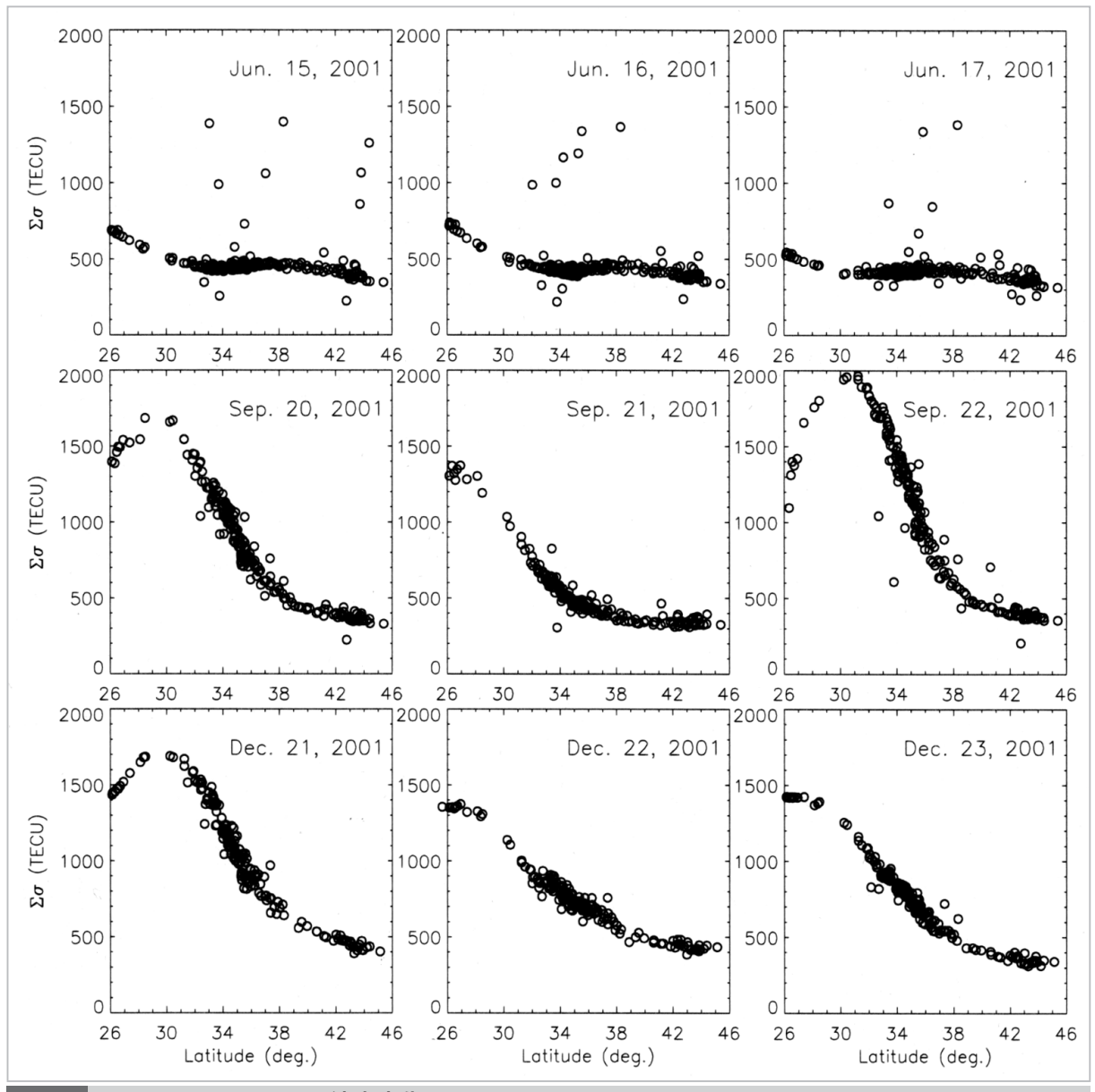


図 14 9日間にわたるΣσの緯度変化

 $\Sigma \sigma$ の緯度依存性 (したがってバイアス誤差) は、TECの緯度勾配及び赤道異常によって説明できる。このことは図14にはっきり現れている。赤道異常は秋分点において活動が活発になるため、磁気赤道について対称な磁気緯度15°の近辺において二つの電子密度ピーク (頂という)を持つ。これを日本の経度でいうと地理的緯度の25°N付近に相当する。受信機が赤道異常の頂又はその付近に位置する場合、その範囲内の衛星は最高点から離れて分布する傾向にある。そのとき鉛直換算したTECの平均値は、最高点を通るTECよりも小さくなる。そして、その平均値に対するTECの偏差 $\Sigma \sigma$ は、緯度勾配すなわち

分散が大きいときの TECの偏差よりも小さくなる。

## 5 まとめ

日本に設置されたGEONETの209台の受信機からもたらされる2周波GPSデータを用い、日本上空のTECを導出するとともに、衛星と受信機のバイアスを計算した。このほか、衛星バイアスが既知のときに、単独の受信機のバイアスを求める、より簡易でより高速な方法も提案した。本稿で述べた二つの方法を夏、秋、冬の地磁気的に静かな日に適用した。

バイアス計算において得られた主な結果は以 下のようにまとめられる。

- (1) 28個のGPS衛星バイアスに対する平均からの標準偏差は、6か月の時間枠における9日間のデータについて0.076 ns ~ 0.664 ns である。
- (2) 受信機バイアスの93%は、9日平均に対する標準偏差が2nsより小さい。その一方で、これが4nsに達する受信機も若干存在する。
- (3) 1台の受信機に対してフィッティングによるバイアスは、一般にGEONETから得たバイアスの±2ns以内である。秋と冬では、低緯度(<35°N)の受信機においてGEONETから得たバイアスとの差が大きい傾向にある。その原因は、おそらく赤道異常の発達によって局所電離圏内に大きな緯度勾配が生じることにある。

GPSから導出した TECについては、foF<sub>2</sub>との 比較によって以下のことが明らかになった。

- (1) *TECと foF<sub>2</sub>の*日変化及び季節変化は、非 常によく一致する。
- (2) TECを foF<sub>2</sub>の2乗で割った比も、日変化及び季節変化を示す。冬の日中のピーク値は、 夏及び秋のそれの約2倍である。

## 6 結び

GEONETから得られたデータを分析した結果、本稿で述べた方法が絶対的な TECの導出と GPS 衛星及び受信機のバイアスの計算において有効

であり、かつ使用に適格であると結論付けることができる。衛星及び受信機のバイアスは日々 変動が小さいため、計器バイアスは計算又は較 正を時折行えばよい。これは衛星バイアスにつ いて特にいえることである。

単独受信機のバイアスを求める方法は、中緯度の受信機に比較してより高速かつ十分に正確である。電離圏をほぼリアルタイムでモニターするために必要な条件を満たす可能性もある。この方法はGPS網から離れた受信機にも適用できる。しかし、赤道異常の影響により、フィッティングによるバイアスの精度は低緯度の受信機について低くなる恐れがある。低緯度について計算する前に中緯度の受信機バイアスを算出すれば、この欠点は避けられる。

GPSから得られる TECに主に寄与するのは、 F2層にある電子である。 TECを foF<sub>2</sub>の2乗で割った比の値をみると、プラズマ圏の電子数は夏 や秋よりも冬のほうが高いことが分かる。

#### 謝辞

国土地理院にはGEONETのGPSデータを自由に使わせていただいた。この場をお借りして感謝したい。また、有益な議論ができたことに対し、A. Saito 氏、K. Hocke 氏 及び Y. Otsuka 氏にもお礼を申し上げたい。

#### 参考文献

- 1 Blewitt, G., "An automatic editing algorithm for GPS data", Geophys. Res. Lett., 17, 199-202, 1990.
- **2** Bevington, P. R., "Data reduction and error analysis for the physical sciences", Mcgraw-Hill, New York, 1969.
- **3** Coco, D. S., C. Coker, S. R. Dahlke, and J. R. Clynch, "Variability of GPS satellite differential group delay biases", IEEE Trans. Aerosp. Electron. Sys., 27, 931-938, 1991.
- **4** Ho, C. M., A. J. Mannucci, L. Sparks, X. Pi, U. J. Lindqwister, B. D. Wilson, B. A. lijima, and M. J. Reys, "Ionospheric total electron content perturbations monitored by the GPS global network during two northern hemisphere winter storms", J. Geophys.Res., 103, 26409-26420, 1998.
- **5** Hovath, I. and E. A. Essex, "Using observations from the GPS and TOPEX satellites to investigate night-time TEC enhancements at mid-latitudes in the southern hemisphere during a low sunspot number period", J. Atmos. Sol. Terr. Phys., 62, 371-391, 2000.
- **6** Lanyi, G. E. and T. Roth, "A comparison of mapped and measured total ionospheric electron content using Global Positioning System and beacon satellites observations", Radio Sci., 23, 483-492, 1988.

- **7** Lunt, N., L. Kersley, and G.J. Bailey, "The influence of the protonosphere on GPS Observations: Model simulations", Radio Sci., 34, No. 3, 725-732, 1999.
- 8 Mannucci, A.J., B.D. Wilson, D.N. Yuan, C.H. Ho, U.J. Lindqwister, and T.F. Runge, "A global mapping technique for GPS-derived ionospheric electron content measurements", Radio Sci., 33, 565-582, 1998.
- **9** Miyazaki, S., T. Saito, M. Sasaki, Y. Hatanaka, and Y. limura, "Expansion of GSI's nationwide GPS array", Bull. Geogr. Surv. Inst., 43, 23-34, 1997.
- 10 Otsuka, Y., T. Ogawa, A. Saito, T. Tsugawa, S. Fukao, and S. Miyazaki, "A new technique for mapping of total electron content using GPS network in Japan", Earth Planets Space, 111-120, 2001.
- 11 Press, W.H., S. A. Teukolsky, W. T. Vetterling, and B. P. Flannery, "Numerical Recipes in Fortran 77", Cambridge University Press, 670-673, 1992.
- 12 Reiff, P. H., "The use and misuse of statistical analysis", in R. L. Carovillano and J. M. Forbes (Ed.), Solar-Terrestrial Physics, 493-522, 1983.
- 13 Sardón, E., A. Rius, and N. Zarraoa, "Estimation of the transmitter and receiver differential biases and the ionospheric total electron content from Global Positioning System observations", Radio Sci., 29, 577-586, 1994.
- 14 Sardón, E. and N. Zarraoa, "Estimation of total electron content using GPS data: How stable are the differential satellite and receiver instrumental biases?", Radio Sci., 32, 1899-1910, 1997.
- 15 Wilson, B. D., A. J. Mannucci, C. D. Edwards, and T. Roth, "Global ionospheric maps using a global network of GPS receivers, paper presented at the international Beacon Satellite Symposium", MIT, Cambridge, MA, July 6-12, 1992.
- **16** Wilson, B. D., A. J. Mannucci, and C. D. Edwards, "Subdaily northern hemisphere ionospheric maps using an extensive network of GPS receivers", Radio Sci., 30, 639-648, 1995.



馬 冠一 (MA Guanyi) 電磁波計測部門電離圏・超高層グルー プ専攻研究員 理学博士 宇宙空間物理 ma@crl.go.jp



対山 隆 電磁波計測部門電離圏・超高層グルー プリーダー 博士(工学) 超高層大気物理 tmaru@crl.go.jp